

تأثیر ماده زمینه برون سلولی بر خصوصیات کرونوتروپی (ضرباهنگی) کاردیومیوسیت‌های مشتق از سلولهای بنیادی جنینی

حسین بهاروند M.Sc.*، مهناز آذرینیا Ph.D.*، کاظم پریور Ph.D.*، سعید کاظمی آشتیانی Ph.D.*

☆ دانشگاه تربیت معلم، گروه زیست شناسی

☆ پژوهشکده رویان، گروه سلولهای بنیادی

✉ آدرس مکاتبه: تهران صندوق پستی: ۴۶۴۴-۱۹۳۹۵، پژوهشکده رویان، گروه سلولهای بنیادی

پست الکترونیک: Email: Baharvand50@yahoo.com

چکیده

دریافت مقاله: ۸۳/۴/۲، پذیرش مقاله: ۸۳/۸/۶

*** هدف:** بررسی اثر ماده زمینه برون سلولی (ECM) بر خصوصیات ژنوتیپی و فیزیولوژیکی کاردیومیوسیت‌های مشتق از سلولهای بنیادی جنینی

*** مواد و روشها:** اجسام شبه جنینی مشتق از سلولهای بنیادی جنینی موش رویان B1 (مشتق از موش C57BL/6) تهیه شدند و بر ECM مشتق از فیبروبلاست قلب (کاردیوژل)، ECM تجاری (ماتریژل) و بدون ECM (کنترل) برای ۲۱ روز کشت شدند. خصوصیات کاردیومیوسیتها با ایمونوسیتوشیمی، RT-PCR و داروهای کرونوتروپی ارزیابی گردید.

*** یافته ها:** میزان ضربان در دقیقه طی روزهای ۹-۷ در گروه کاردیوژل بیش از کنترل و ماتریژل بود ($P < 0.05$). سلولهای ضرباندار حاصل از سلولهای بنیادی جنینی نشانگرهای کاردیومیوسیتی شامل آلفا-کتینین، دسیمین، تروپونین I، زنجیره سنگین میوزین سارکومری (MHC)، پان-کادهرین و کانکسین ۴۳، زنجیره سنگین میوزینی آلفا و بتا و زنجیره سبک میوزینی بطنی و فاکتور ناتری پوریتیک دهلیزی (ANF) را بیان می کنند. علاوه بر این ضربان کاردیومیوسیت‌های کشت یافته بر ECMS نسبت به ایزوپرنالین بیشتر افزایش می یابد، و کاردیومیوسیت‌های کشت یافته بر ماتریژل نسبت به کارباکول بیشتر کاهش می یابد. اما تعداد ضربان بین سه گروه با به کارگیری فیل افرین، پروپرانولول و یا بای K- تفاوت نکرد.

*** نتیجه گیری:** ماده زمینه برون سلولی بعضی صفات کرونوتروپی کاردیومیوسیت‌های مشتق از سلولهای بنیادی جنینی را تحت تأثیر قرار می دهد.

کل واژگان: سلولهای بنیادی جنینی، تمایز کاردیومیوسیت، ماده زمینه برون سلولی، صفات کرونوتروپی

نشریه پزشکی یاخته، سال ششم، پاییز ۸۳، شماره ۲۳، صفحات ۱۵۹-۱۵۶

مقدمه

مطالعات آزمایشگاهی نشان داده است که ماده زمینه برون سلولی (ECM) و فاکتورهای رشد، تمایز سلولی را تحت تأثیر قرار می دهند. لذا برای تمایز آزمایشگاهی سلولهایی که از نظر ساختار و عملکرد مناسب باشند، ریز محیط (Microenvironment) یا کنام (niche) مشابه شرایط موجود زنده حائز اهمیت است. نشان داده شده است که ماهیت ماده زمینه برون سلولی بر صفات ژنوتیپی و فنوتیپی سلولها اثر می گذارد (۱، ۲). از طرفی ترکیبات ساده برون سلولی هر اندام اختصاصی است. بنابراین بر هم کنشهای آن با سلولهای هر اندام منحصر به فرد است. در نتیجه ماده زمینه برون سلولی هر بافت ممکن است بر سرنوشت تکوینی و تمایز سلولهای آن اثر بگذارد.

تا کنون کاردیومیوسیت‌های مشتق از سلولهای بنیادی جنینی بر ظروف پلاستیکی کشت یافته اند (۳، ۴، ۵، ۶) و یا کاردیومیوسیت بالغ بر انواعی از ترکیبات کلاژنی، لامینینی، فیبرونکتینی و یا غیره کشت شده اند (۱، ۷). گزارش شده است که بر هم کنش کاردیومیوسیت‌هایی که بر ماده زمینه برون سلولی رشد می یابند از نظر بیوشیمیایی و مکانیکی پیچیده تر از حتی یک نوع پروتئین نظیر کلاژن، فیبرونکتین، لامینین است. به طور

طبیعی کاردیومیوسیتها توسط پایه‌ای متشکل از کلاژن نوع IV، لامینین، فیبرونکتین و انواعی از پروتئولیکانها محصور شده اند (۸). این مواد عمدتاً توسط فیبروبلاستهای قلبی ترشح می شوند (۹). این ماده زمینه برون سلولی طبیعی، کاردیوژل نامیده می شود (۱۰).

لذا در این مطالعه، کاردیومیوسیت‌هایی که از سلولهای بنیادی جنینی موش به دست آمده اند، بر ماده زمینه برون سلولی اختصاصی قلب (کاردیوژل) ماده زمینه برون سلولی غیر اختصاصی (ماتریژل) و گروه کنترل (بدون ماده برون سلولی) کشت شدند. ماتریژل، ماده زمینه‌ای تجاری است که از سارکومای موش به دست می آید و دارای فاکتورهای رشد، لامینین (۶۰ درصد)، کلاژن IV (۳۰ درصد) و هپاران سولفات (۸ درصد) است (۱۱). کاردیومیوسیت‌هایی رشد یافته در گروههای مختلف فارماکولوژی، ایمونوهیستوشیمی و تجلی ژنهای خاص قلب مورد ارزیابی قرار گرفتند.

مواد و روشها

کشت سلولهای بنیادی جنینی

در این مطالعه از رده سلولهای بنیادی جنینی (رویان B1) مشتق از

ابتدا دو بار با PBS شستشو شدند و بعد با محلول متانول: استن (۳ به ۱) سلولها برای ایمونوسیتوشیمی رنگ آمیزی شدند. به طوری که سلولها در ۲۰- درجه سانتیگراد و یا پارافرمالیدید ۴ درصد در دمای اتاق تثبیت شدند. به دنبال شستشوی مجدد، سلولها (دوبار با PBS)، سلولها با سرم ۱۰ درصد نر پوشانده شدند (۳۰ دقیقه). آنتیبادیهای اولیه (جدول ۱) به مدت ۶۰ دقیقه در دمای ۳۷ درجه سانتی گراد جداگانه به مجموعه‌های سلولی متفاوت اضافه شد. سپس سلولها سه بار با PBS شستشو شده (هر بار ۱۰ دقیقه) و به دنبال آن آنتیبادی ثانویه نشان‌دار با FITC (Sigma F9006) اضافه شد (۱:۱۰۰) و به مدت ۶۰ دقیقه در دمای ۳۷ درجه سانتی گراد انکوبه شدند. در پایان سلولها سه بار با PBS شستشو و با میکروسکوپ فلورسنتس (Nikon/TE 2000) مورد ارزیابی قرار گرفتند.

جدول ۱: آنتیبادیهای اولیه مورد استفاده در ایمونوسیتوشیمی

نام آنتی بادی	کمپانی و شماره کاتالوگ	غلظت مورد استفاده
آنتی بادی دسمین	Sigma (D1033)	1:20
آنتی آلفا اکتینین	Sigma (A7811)	1:800
آنتی کانکسین - ۳۳	Sigma (C8093)	1:200
آنتی تروپونین I	Chemicon (MAB169)	1:250
آنتی یان کاده‌رین	Sigma (C1821)	1:400
آنتی سارکومریک MHC	MF-20(Hybridoma bonk)	سوپ روی سلولی ۱:۱

تجلی ژنهای خاص قلبی

از روش نسخه برداری معکوس واکنش زنجیره‌ای پلی مرز (RT-PCR) برای ارزیابی تجلی رونوشت‌های (transcripts) خاص قلبی استفاده شد. سلولهای ضربان‌دار تحت میکروسکوپ اینورت فاز کنتراست به روش مکانیکی (پسیت) جدا شدند و RNA آنها با استفاده از RNX Plus™ (RN7713C, Fermentas) استخراج شد. با استفاده از پرایمرالیگو dT و آنزیم ریورس ترانسکریپتاز cDNA (K 1632, Fermentas) ساخته شد.

پرایمرهای مورد استفاده جهت PCR در جدول ۲ آمده است. محصولات PCR روش ژل آگاروز ۲ درصد (Fermentas) جدا با اتیدیوم بروماید رنگ و با ترانس لومینوتور (Uvido, UK) UV مشاهده شدند.

جدول ۲: پرایمرهای مورد استفاده در PCR

Genes	Primer Sequences (5'-3')	Size (bp)	Annealing Temperature	References
Cardiac α -MHC (α -myosin heavy chain)	CTGCTGGAGAGGTTATTCTCG GGAAGAGTGAGCGGGCATCAAGG	301	65	5
Cardiac β -MHC (β -myosin heavy chain)	TGCAAAGGCTCCAGGTCTGAGGGC GCCAACACCAACCTGTCCAAGAAC	205	68	5
Myosin light chain - isoform 2V (MLC-2V)	TGTGGGTCACCTGAGGCTGTGGTTTCAG GAAGGCTGACTATGTGTCCGGGAGATGC	189	68	5
ANF (Atrial natriuretic factor)	TGATAGATGAAGGCAGGAAGCCGC AGGATTGGAGCCCAGAGTGGACTAGG	203	68	5
Oct-4	GGCGTTCTCTTTGGAAAGGTGTTTC CTCGAACACATCCACATCCTTCTCT	317	61	12
β -tubulin	GGAACATAGCCGTAACACTGC TCACTGTGCCTGAACCTACC	317	63	5

موش نژاد C57BL/6 استفاده شد (۱۲). این سلولهای به صورت تمایز نیافته بر فیبروبلاستهای جنین موشی که تقسیم آنها با مایتوسین (Sigma, M0503) متوقف شده بود، کشت شدند. محیط کشت این سلولها شامل Dulbecco's modified Eagle's medium (DMEN, Gibco, 10829-018) همراه با افزودنیهای ۱۵ درصد سرم جنین گاوی (FCS, Gibco, 16141-079) 0.1mM، 2mM گلوتامین (sigma, M7522)، 0.1mM اسید آمینه غیر ضروری (Gibco, 15039-027)، و 1000iu/ml فاکتور ممانعت کننده لوکمیایی (sigma, M7145) و (LIF, Chemicon, ESGRO, ESG1107) بود.

نحوه تمایز کاردیومیوسیتها

کاردیومیوسیت‌های ضربان دار به صورت خود به خود از سلولهای بنیادی جنینی به روش که قبلاً بیان شده است تمایز یافتند (۱۳). به طور خلاصه مراحل کار شامل کشت ۸۰۰ سلولهای بنیادی جنینی در قطرات آویزان ۲۰ میکرولیتری بود تا اجسام شبه جنینی (EB) تشکیل شود. پس از دو روز اجسام شبه جنینی به ظرف باکتریایی منتقل شدند تا پنج روز دیگر رشد یابند. اجسام شبه جنینی هفت روزه به صورت منفرد در ظروف ۲۴ خانه به صورت منفرد به مدت ۲۱ روز کشت شدند. کف ظرفها با کاردیوژل، ماتریژل و یا بدون ECM (گروه کنترل) مفروش شده بود. در اجسام شبه جنینی کشت شده، کاردیومیوسیتها به صورت مجموعه‌های سلولی ضربان‌دار مشاهده شدند.

تهیه کاردیوژل و ماتریژل

کاردیوژل و ماتریژل مطابق روشی که قبلاً توصیف شده (۱۴)، تهیه شدند.

ایمونوسیتوشیمی

نواحی ضربان‌دار ۱۰-۵ جسم شبه جنینی به روش مکانیکی تحت میکروسکوپ اینورت فاز کنتراست جدا شده و پس از شستشو در محلول فسفات بافر (PBS) عاری از Mg^{2+} و Ca^{2+} ، تریپسین شدند. سپس سلولهای جدا شده مجدداً کشت شدند. بعد از یک تا دو روز

جدول ۳: داروها و غلظت‌های مختلف به کار گرفته شده

نام ماده	غلظت‌های مورد استفاده (M)	شماره کاتالوگ سنگما
اینزوپرنالین	10^{-7} , 10^{-6} , 10^{-5}	1-6504
فنیل افرین	10^{-4} , 10^{-5} , 10^{-6}	P-6126
پروپانولول	10^{-7} , 10^{-6} , 10^{-5}	P-0884
کاربامیلوکل	10^{-6} , 10^{-5} , 10^{-4}	C-4382
K8644 بای	10^{-7} , 10^{-6} , 10^{-5}	B-133

آزمون آماری

داده‌های فارماکولوژیکی با استفاده از آزمون آماری Anova و با نرم‌افزار SPSS ارزیابی شدند. نتایج به صورت [میانگین \pm خطای استاندارد (SEM)] نشان داده شده‌اند، $P < 0.05$ از نظر آماری معنی دار در نظر گرفته شد.

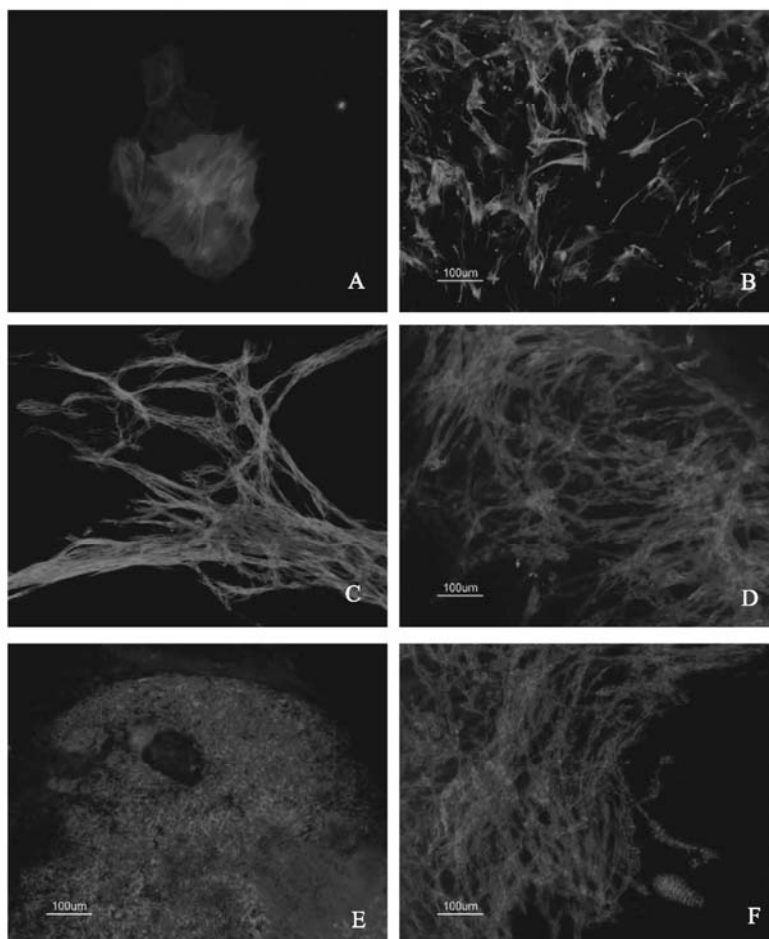
یافته‌ها

تمایز سلول‌های بنیادی جنینی به کاردیومیوسیت
معمولا هفت روز بعد از کشت سلول‌های بنیادی جنینی در قطرات آویزان تمایز کاردیومیوسیتها با وجود ضربان شروع شد.

مطالعات فارماکولوژیکی

کاردیومیوسیت‌های ضربان دار که بیش از ۱۰ درصد از سطح جسم شبه جنینی رشد یافته را اشغال کرده بودند. مطابق سه مرحله تکوینی که قبلا توسط Maltseve و همکاران (۳) توصیف شده بودند، مورد ارزیابی قرار گرفتند. این مراحل شامل:

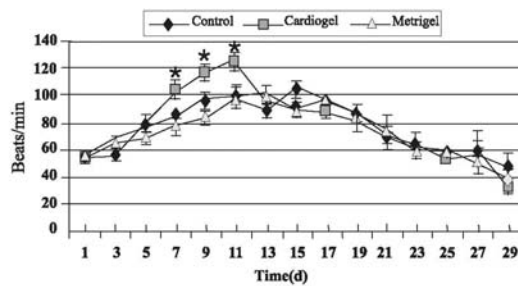
(۱) ابتدایی تمایز (روز ۷+۳) (۲) میانه تمایز (روز ۷+۷) (۳) انتهایی تمایز (روز ۷+۱۴) بودند. فرکانس ضربان خود به خود با کمک میکروسکوپ فاز کنترل است اینورت (Olympus, CKX41) انجام شد. اثرات وابسته به دوز و مرحله تکوینی با به کارگیری دوزهای مختلف دارویی (جدول ۳) در مراحل تکوینی مختلف انجام شد. اثرات وابسته به دوز و مرحله تکوینی با به کارگیری دوزهای مختلف دارویی (جدول ۲) در مراحل تکوینی مختلف انجام شد. میزان ضربان کاردیومیوسیت‌های ۹۵۶، ۱۰۳۴، ۹۸۴ مجموعه (Cluster) مستقل کاردیومیوسیتی به ترتیب رشد یافته بر کاردیوژل، ماتریژل و کنترل ارزیابی شد.



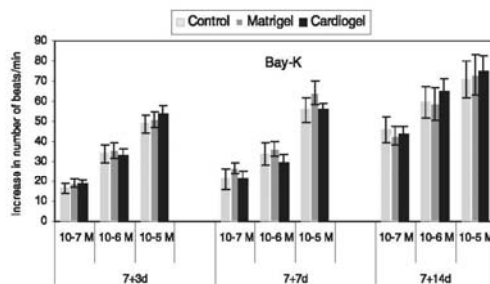
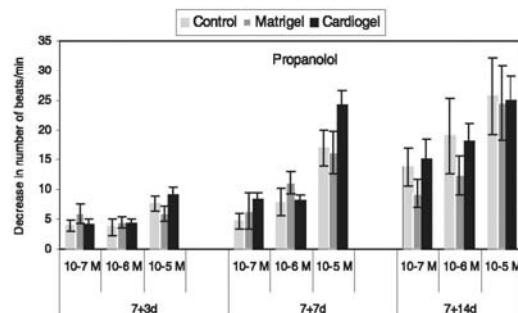
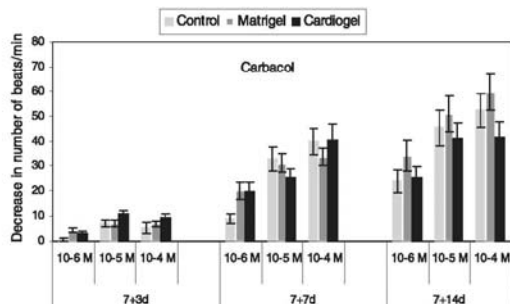
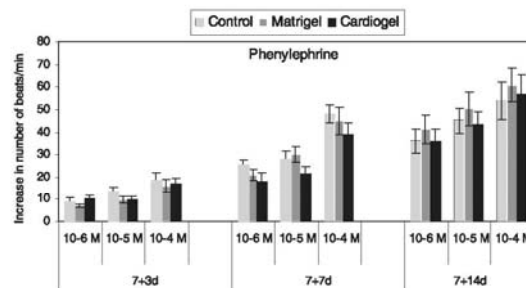
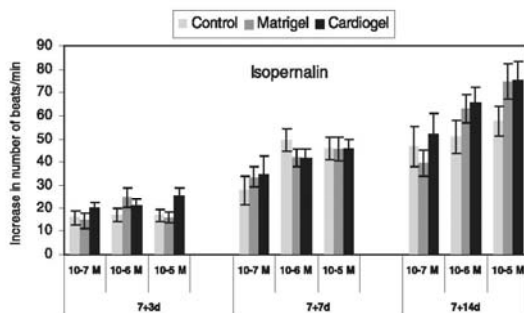
شکل ۱: ایمونوسیتوشیمی کاردیومیوسیت‌های مشتق از سلول‌های بنیادی جنینی آنتی بادی علیه آلفاکتینین (A)، دسیپن (B)، تروپونین (C)، (D)MF-20، کانکسین ۳۲ (E)، پان-کادهرین (F).

به منظور مشاهده سلولهای ضربان دار در هر جسم شبه جنینی به کف ظرف چسبیده و تکثیر نمودند و جمعیت ناهماهنگی از سلولها، از جمله کاردیومیوسیتهای ضربان دار تمایز نمودند. از آنجا که ظرفیت تمایزی سلولهای بنیادی جنینی به تعداد اولیه آنها در جسم شبه جنینی بستگی دارد (۱۵، ۱۶) و قبلا نیز نشان دادیم که تعداد ۸۰۰ سلول در هر قطره آویزان برای رده سلولی رویان B1 مناسب است (۱۳) لذا این تعداد سلول ES برای تشکیل جسم شبه جنینی به کار رفت.

فرکانس ضربان کاردیومیوسیتهای حاصل نیز به درمان کشت اجسام شبه جنینی در ظرفهای ۲۴ خانه بستگی داشت، به طوری که تعداد ضربان با افزایش زمان افزایش می یافت.



نمودار ۱: میزان ضربان در دقیقه در طی سی روز در اجسام شبه جنینی کشت یافته بر کاردیوژل، ماتریژل و کنترل* ($P < 0.05$)



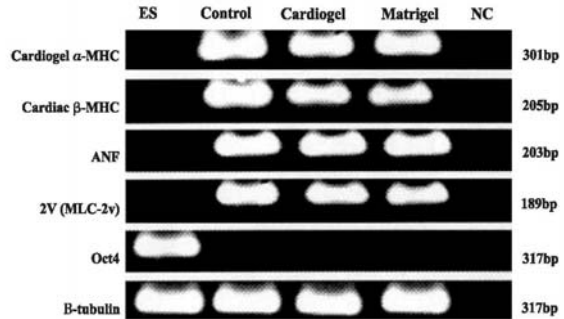
نمودار ۲: اثرات کرونوتروپی در مراحل مختلف تکوین کاردیومیوسیتها ایزوپرنالین، فنیل افرین، پروپانولول و بای K- با غلظت‌های مختلف بر میزان ضربان در دقیقه کاردیومیوسیت‌های مشتق از سلولهای بنیادی جنینی در سه گروه کاردیوژل، ماتریژل و کنترل.

به طوری که میزان ضربان در دقیقه در کاردیومیوسیت‌های رشد یافته در روزهای هفت تا یازده بیش از گروه کنترل و ماتریژل بوده است ($P < 0.05$) ولی در روزهای قبل و بعد تفاوتی در تعداد ضربان آنها مشاهده نمی‌شود.

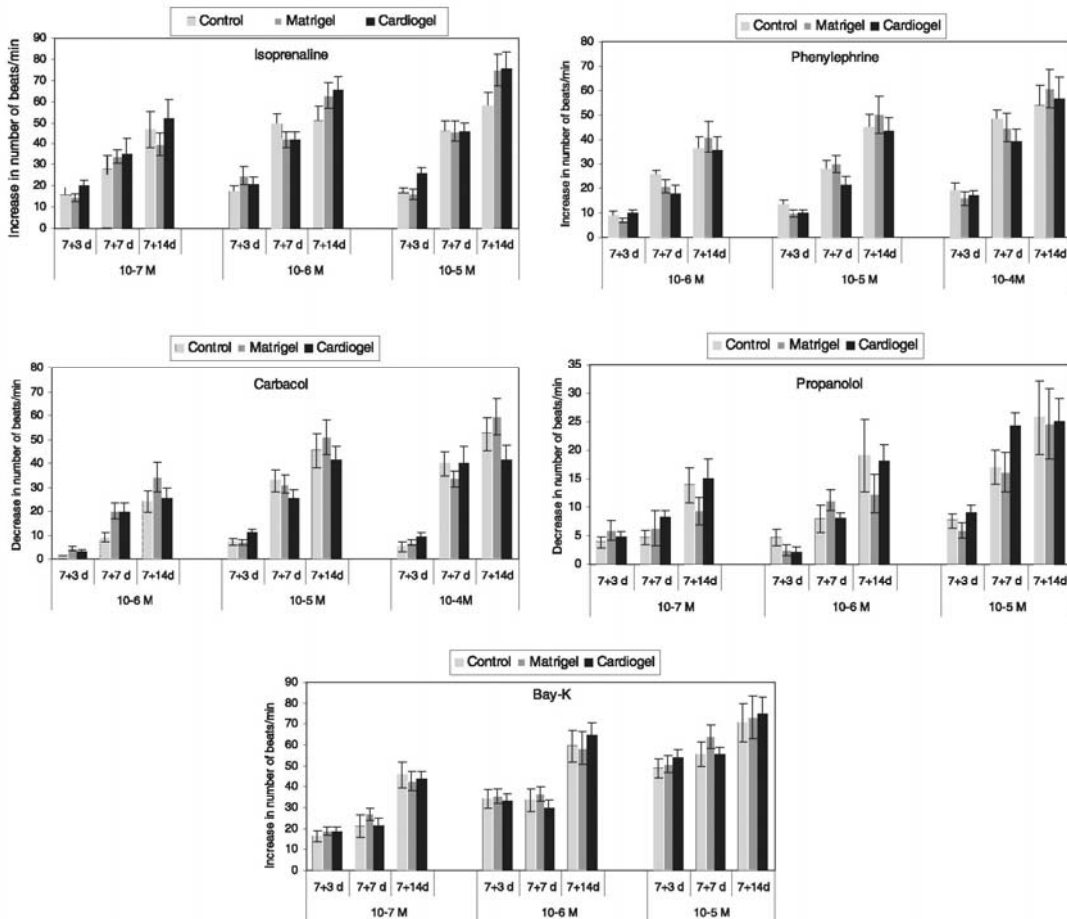
تجلی نشانگرهای قلبی در کاردیومیوسیت‌ها مشتق از سلولهای بنیادی جنینی

ایمونوسیتوشیمی سلولها نشان داد که کاردیومیوسیت‌های حاصل به صورت دوکی، گرد و سه تا چند وجهی هستند دارای ساختارهای سارکومری سلولهای ماهیچه‌ای هستند که به طوری که به صورت مخطط جلوه می‌کردند. در ضمن آنکه کاردیومیوسیت‌ها در تمام گروهها نشانگرهای ماهیچه‌ای آلفا کاتینین، دسیمین، تروپونین I، زنجیره سنگین میوزین سارکومری، پان کادهرین و کانکسین ۴۳ را بیان می‌کردند (شکل ۱).

در تمام گروهها فرکانس ضربان در طول سی و یک روز به طور یک روز در میان در نمودار ۱ آمده است.



شکل ۲: بررسی تجلی ژنهای خاص کاردیومیوسیتی با روش RT-PCR در کاردیومیوسیت‌های مشتق از سلولهای جنینی. NC نشان دهنده بدون cDNA است.



نمودار ۳: اثرات کروئوتروپی غلظتهای مختلف ایزوپرنالین (A)، فنیل افرین (B)، کارباکول (C)، پروپرانولول (D) و بای-K (E) در زمانهای مختلف تکوین بر میزان ضربان در دقیقه کاردیومیوسیت‌های مشتق از سلولهای بنیادی جنینی در سه گروه کاردیوژل، ماتریژل و کنترل.

علاوه بر این بررسی RT-PCR کاردیومیوسیتها نشان داد که در تمام گروهها، پروتئینهای کاردیاک شامل α -MHC و β -MHC و ANF و 2V تجلی می‌یابند (شکل ۲).

خصوصیات فارماکولوژی

اثر داروهای کرونوتروپی (ضربانگی) بر کاردیومیوسیتها مشتق از سلولهای بنیادی جنینی کشت یافته بر کاردیوژول، ماتریژل و کنترل ارزیابی شد (نمودار ۲ و ۳). فرکانس ضربان با به کار گیری بای K- به طور معنی داری بسته به مقدار به کار رفته (dose-dependent) و زمان تکوینی (developmental stage-dependent) افزایش یافت و این موضوع در تمام گروهها دیده شد. ولی تفاوت معنی دار بین گروهها مشاهده نگردید. همچنین انقباضها بعد از چند ساعت بعد از حذف دارو به حالت اولیه برمی گشتند. این نتایج نشان دهنده وجود کانالهای کلسیمی فعال در کاردیومیوسیتها حاصل بود. سلولها با ایزوپرنالین (آگونیست بتا آدرنوسپتور) و فنیل آفرین (آگونیست آلفا آدرنوسپتور) تیمار شدند. به کار گیری این داروها در تمام گروهها به سبب افزایش معنی دار تعداد ضربان افزایش بیشتری می‌یافت. از طرفی به کار گیری کارباکول (آگونیست کولینوسپتور) نیز نشان داد که میزان ضربان با افزایش غلظت و مرحله تکوینی، بیشتر کاهش می‌یابد. نکته جالب توجه آن که، هیچ کدام از داروها، تعداد ضربان را به میزان قابل توجهی در مرحله ابتدایی (روز ۷+۳) در قیاس با مرحله میانی (روز ۷+۷) و نهایی (روز ۷+۱۴) تحت تاثیر قرار ندادند. از سوی دیگر کاردیومیوسیتها رشد یافته بر کاردیوژول یا ماتریژل، بیشتر تحت تاثیر ایزوپرنالین قرار گرفتند و ضربان کاردیومیوسیتها رشد یافته بر ماتریژل در مقایسه با کاردیوژول بیشتر کم شد. اما اختلاف معنی داری بین تعداد ضربان در به کار گیری فنیل آفرین و بای K- مشاهده نشد.

بحث

تولید کاردیومیوسیتها فعال از سلولهای بنیادی جنینی دارای کاربردهای بالقوه در مطالعات زیست‌شناسی تکوینی، طب پیوند و توسعه داروسازی و ناهنجار شناسی است. اما این کاربردها و سایر توانیهای بالقوه کاردیومیوسیتها مشتق از سلولهای بنیادی جنینی به طور عمده به جنبه‌های عملی تولید شرایط کشت مطلوب این سلولها بستگی دارد.

در این مطالعه ما به بیان خصوصیات کاردیومیوسیتها مشتق از سلولهای بنیادی جنینی پس از کشت بر کاردیوژول که ماده زمینه برون سلولی و عمدتاً از فیبروبلاستهای قلبی ساخته می‌شود پرداخته شد. کاردیوژول غنی از لامینین، فیبرونکتین، پروتئوگلیکان و کلاژنهای I و III است (۱۰). همچنین کاردیومیوسیتها حاصل بر ماتریژل که یک ماده زمینه برون سلولی تجاری است و دارای هیپران سولفات، کلاژن IV، entactin و Nidogen است (۱۱)، کشت شدند. مشاهدات ما نشان داد که سلولهای بنیادی جنینی به خوبی به کاردیومیوسیتها فعال تمایزی می‌یابند و می‌توان آنها را همچون گروه کنترل بر ماده

زمینه برون سلولی (کاردیوژول و ماتریژل) کشت داد. این نتیجه گیری بر اساس مشاهدات ذیل است: (۱) ضربان مجموعه‌های تمایز نیافته (۲) تجلی نشانگرهای سلولی و مولکولی خاص سلولهای قلبی (۳)، پاسخ مناسب سلولهای مذکور در مقابل داروهای کرونوتروپی (ضربانگی).

اگر چه تغییرات دقیق کانالهای یونی غشاء یا اجزایی که همراه این خصوصیات تکوین می‌یابند مشخص نیست، اما به نظر می‌رسد کاردیومیوسیتها رشد یافته بر ماده زمینه برون سلولی در پاسخ به بعضی داروها متفاوت عمل می‌کنند. به طوری که به کار گیری ایزوپرنالین در کاردیومیوسیتها کشت شده بر کاردیوژول یا ماتریژل در مقایسه با کاردیوژول در پاسخ به کارباکول به نسبت بیشتری کاهش ضربان دارند. از طرفی در مطالعه قبلی نیز ما مشاهده کردیم که کاردیوژول نسبت به ماتریژل سبب بلوغ سریعتر کاردیومیوسیتها می‌شود. به طوری که نوارهای H, M و لوله‌های T در کاردیومیوسیتها حاصل وجود دارد ولی در گروه کنترل وجود ندارد (۱۳). نتایج پاسخهای دارویی نشان داد که افزودن آگونیست β - آدرنوسپتور ایزوپرنالین، سبب افزایش معنی دار تعداد ضربان از مرحله ابتدایی تا نهایی شد ولی افزایش غلظت آن در یک مرحله به خصوص، تعداد ضربانها را افزایش نداد. نتایج در مورد فنیل آفرین به عنوان آگونیست گیرنده آدرنرژیک α_1 همچون تاثیر ایزوپرنالین بود. اما در مراحل حد واسطه و نهایی تمایز، افزایش غلظت پروپانولول سبب مهار بیشتر گیرنده‌ها و کاهش ضربان شد. کاهش معنی دار در اثرات ضربانگی (کرونوتروپی) منفی با به کار گیری کارباکول که مشتق پایدار استیل کولین است و به گیرنده موسکارینی کولینوسپتور متصل می‌شود به غیر از مرحله ابتدایی در سایر مراحل دیده شد. از سوی به کار گیری بای K- به عنوان فعال کننده کانال کلسیمی نیز نشان داد که افزایش غلظت در روزهای ابتدایی و حد واسطه، سبب افزایش تعداد ضربان می‌شود.

در واقع بن‌یافته‌های تمایز نیافته فعالیت الکتریکی ندارند این سلولها قادر به تولید پتانسیل عمل نیستند و تنها ولتاژ خطی (Linear Current Voltage) دارند (۱۷). شکلهای متفاوت پتانسیل کاردیومیوسیتها حاصل از بن‌یافته‌های جنینی به تجلی انواع متفاوت کانالهای یونی برمی گردند (۳) کاردیومیوسیتها در مراحل ابتدایی دارای دو کانال یونی اصلی یعنی کانال کلسیمی نوع L وابسته به ولتاژ (L_{Ca}) و کانال پتاسیمی (K) گذرا (I_K, t_o) هستند، این در حالی است که در مراحل نهایی تمایز کاردیومیوسیتها، انواع دیگری از کانالهای نظیر کانالهای Na⁺ وابسته به ولتاژ (I_{Na})، کانالهای K⁺ تاخیری Outward rectifying (I_K) و کانالهای K⁺ تاخیری Inward Rectifying (I_{N1}) کانالهای K⁺ که با استیل کولین موسکارینی فعال می‌شوند (I_K, Ach) و کانالهای پشاهنگ فعال شونده با هیپرلاریزاسیون (I_h) تجلی می‌یابد. بیشتر خصوصیات بیوفیزیکی فارماکولوژیکی جریانهای یونی کاردیومیوسیتها مشتق از بن‌یافته‌های جنینی مشابه آنچه است که در مورد بزرگسالان و یا کاردیومیوسیتها

مشاهده شده آرایش اجزاء ماده زمینه برون سلولی بر فنوتیپ کاردیومیوسیتها اثر می گذارند (۱). احتمالاً همکاری بین مسیرهای پیام رسانی که با عواملی چون عوامل تمایزی و رشدی و پروتئینهای ماده زمینه برون سلولی تحریک می شود، تعیین کننده تکثیر و تمایز سلولی است (۲۷).

Mahfoudi و همکاران (۲۸) گزارش کردند که ماتریکل سبب کسب مورفولوژیکی تمایزی سلولهای اپیتلیال اندومتریم می گردد. همچنین کشت سلولهای بنیادی بزرگسالان مغز استخوان بر ماتریکل همراه با فاکتور رشد فیبروبلاستی (FGF-4) و فاکتور رشد هپاتوسیتی (HGF)، سبب کسب خصوصیات مورفولوژیک، عملکردی و فنوتیپی هپاتوسیتها می گردد (۲۹). به طور مشابه سلولهای بنیادی جنینی میمون و با کشت در حضور ماتریکل ساختارهای شبه غده ای بالغ می سازند (۳۰). از طرفی نشان داده شده است که فقدان اینتگرینها (دسته ای از گیرنده های پروتئینهای ماده زمینه برون سلولی) عمیقاً بر تکوین قلب موثر است و نبود اینتگرین $\beta 1$ ، سبب مرگ جنین در روز ۵/۵ می شود (۳۱، ۳۲، ۳۳). همچنین حذف اینتگرین $\beta 1$ در سلولهای بنیادی جنینی نشان داد که این گیرنده ها در قلب زایبی طبیعی مهم هستند (۳۳، ۳۴). نبود اینتگرین $\beta 1$ سبب تاخیر در تمایز قلب می شود و این موضوع با تاخیر در تجلی ژنهای خاص قلبی و پتانسیل عمل نشان داده شد. در مطالعه ما نیز دیده شد که بر هم کنش کاردیوژنل که حاوی القاء کننده های اینتگرینها است و اینتگرینهای کاردیومیوسیتها سبب بلوغ سریعتر کاردیومیوسیتها می شود.

در مجموع، کاردیومیوسیتهای مشتق از سلولهای بنیادی جنینی کشت یافته بر ماده زمینه برون سلولی سبب اثر بر کاردیومیوسیتها می شود. همچنین به نظر می آید که خود ماده زمینه ای و بعضی از ترکیبات آن در رشد و نمو سلولی موثرند.

جنین ها گزارش شده است (۱۸، ۱۹، ۲۰). با این حال اختلاف اندکی با هم دارند.

از سوی دیگر اگر چه افزایش غلظت کارباکول به عنوان آگونیست گیرنده کولیزژیک موسکارینی در مرحله ابتدایی سبب کاهش معنی دار تعداد ضربان نشده ولی در مراحل بعدی این موضوع مشاهده گردید و این موضوع با افزایش زمان در مورد هر غلظت نیز دیده شده. به عبارت دیگر در مرحله ابتدایی تعداد گیرنده های موسکارینی کم است و با تمایز بیشتر تعداد گیرنده ها افزایش می یابد. به طوری که با افزایش غلظت در مراحل بعدی نیز مشاهده می شود که تعداد ضربان به شدت کاهش می یابد.

نتایج تاثیر بای-K نیز نشان داد که از همان ابتدا کانالهای کلسیمی نوع L در کاردیومیوسیتها حاصل وجود دارد و با افزایش غلظت آن، در مراحل ابتدایی و حد واسط تعداد ضربان افزایش می یابد. نشان داده شده است که بیشترین جزء جریان کاردیومیوسیتها مشتق از بن یاخته ها حاصل Ica وابسته به ولتاژ است و این شبیه جریان Ca^{2+} نوع L است (۲۱، ۲۲، ۲۳). Van Winkle و همکاران (۱۰) نشان داد که کاردیومیوسیتهایی که از قلب نوزادان موش جدا می شوند، نسبت به لاهمین و فیبرونکتین بر کاردیوپل سریعتر می چسبند و زودتر ضربانهای خود به خودی خود را شروع می کنند و علاوه بر این از لحاظ ساختاری سازمان یافته ترند. مشاهدات مشابهی نیز توسط Bick و همکاران (۲۴) گزارش شد. به طوری که ایشان با رنگ آمیزی هیستوشیمی محتوای میوسیتهای قلب نوزادان موش نشان داد که سلولهایی رشد یافته بر کاردیوژنل از نظر میتوکندریایی سریعتر تکوین می یابند و جذب کلسیم و فسفریلاسیون آنها افزایش می یابد. این یافته ها بر بلوغ سریعتر دستگاه انقباضی در کشت بر کاردیوژنل است (۲۵). علاوه بر این نشان داده شده است که سلولها مشابه بسته به ماهیت ماده زمینه برون سلولی دارای خصوصیات مورفولوژیکی و رشدی متفاوت هستند (۲۶). به طوری که

References

1. Simpson DG, Terracio L, Terracio M, Price RL, umer DC, Borg TK: Modulation of cardiac myocyte phenotype in vitro by the composition and orientation of the extracellular matrix. *J Cell Physiol* 1994;161:89-105
2. Thyberg J, Hultgardh-Nilsson A. Fibronectin and the basement membrane components laminin and collagen type IV influence the phenotypic properties of subcultured rat aortic smooth muscle cells differently. *Cell Tissue Res* 1994;276: 263-271
3. Maltsev VA, Wobus AM, Rohwedel J, Bader M, Hescheler J: Cardiomyocytes differentiated in vitro from embryonic stem cells developmentally express cardiac-specific genes and ionic currents. *Circ Res* 1994; 75: 233-244
4. Kehat I, Kenyagin-Karsenti D, Snir M, Segev H, Amit M, Gepstein A, Livne E, Binah O, Itskovitz-Eldor J: Gepstein L Human embryonic stem cells can differentiate into myocytes with structural and functional properties of cardiomyocytes. *J Clin Inv* 2001;108: 407-414
5. Wobus AM, Guan K, Yang HT, Boheler KR: Embryonic stem cells as a model to study cardiac, skeletal muscle, and vascular smooth muscle cell differentiation. *Methods Mol Biol* 2002;185:127-156
6. Xu C, Police S, Rao N, Carpenter MK: Characterization and enrichment of cardiomyocytes derived from human embryonic stem cells. *Circ Res* 2002; 91: 501-508
7. VanWinkle WB, Snuggs M, Miller JC, Buja LM: Cytoskeletal alterations in cultured cardiomyocytes following exposure to the lipid peroxidation product, 4-hydroxynonenal. *Cell Motil Cytoskeleton* 1994; 28: 119-134
8. Terracio L, Borg TK: Immunohistochemical

- characterization of isolated cultured cardiac myocytes. In: Clark, W.A.; Decker R.S.; Borg, TK, ed. *Biology of isolated adult cardiac myocytes*. Elsevier; Science Publishing, Inc., NY; 1988; 54-67
9. Eghbali M, Blumenfeld OO, Seifert S, Buttrick PM, Leinwand LA, Robinson TF, Zern MA, Giambone MA: Localization of types I, III and IV collagen mRNAs in rat heart cells by in situ hybridization. *J Mol Cell Cardiol* 1989; 21: 103-13
10. VanWinkle WB, Snuggs MB, Buja LM: Cardiogel: a biosynthetic extracellular matrix for cardiomyocyte culture. *In Vitro Cell Dev Biol Anim* 1996; 32: 478-85
11. Kleinman HK, Luckenbill-Edds L, Cannon FW, Sephel GC: Use of extracellular matrix components for cell culture. *Anal Biochem* 1987; 166: 1-13
12. Baharvand H, Matthaie KI: Culture Condition Difference for Establishment of New Embryonic Stem Cell lines From the C57BL/6 and BALB/c Mouse Strains. *In Vitro Cell Dev Biol Anim* 2004; 40:76-81
۱۳. حسین بهاورند، مهناز آذرینیا، کاظم پریور، سعید کاظمی آشتیانی: خصوصیات ضرباهنگی (کرونوتروپی) سلولهای عضله قلبی مشتق از سلولهای بنیادی جنینی، مجله علمی - پژوهشی کوثر، ۱۳۸۳، در دست چاپ
۱۴. حسین بهاورند، مهناز آذرینیا، کاظم پریور، سعید کاظمی آشتیانی: تاثیر ماده زمینه برون سلولی بر فراساختار کاردیومیوسیت‌های مشتق از سلولهای بنیادی جنینی. مجله علمی - پژوهشی علوم تشریح، ۱۳۸۳، در دست چاپ
15. Smith SC, Reuhl KR, Craig J, McBurney MW: The role of aggregation in embryonal carcinoma cell differentiation. *J Cell Physiol* 1987; 131: 74-84
16. Wobus AM, Wallukat G, Hescheler J: Pluripotent mouse embryonic stem cells are able to differentiate into cardiomyocytes expressing chronotropic responses to adrenergic and cholinergic agents and Ca²⁺ channel blockers. *Differentiation* 1991; 48: 173-182
17. Kleppisch T, Wobus AM, Strubing C, Hescheler J: Voltage-dependent L-type Ca channels and a novel type of non-selective cation channel activated by cAMP-dependent phosphorylation in mesoderm-like (MES-1) cells. *Cell Signal*. 1993; 5(6): 727-734
18. Huynh TV, Chen F, Wetzels GT, Friedman WF, Klitzner TS: Developmental changes in membrane Ca²⁺ and K⁺ currents in fetal, neonatal, and adult rabbit ventricular myocytes. *Circ Res*. 1992; 70(3): 508-515
19. Kilborn MJ, Fedida DA: Study of the developmental changes in outward currents of rat ventricular myocytes. *J Physiol*. 1990; 430: 37-60
20. Sakmann B, Noma A, Trautwein W: Acetylcholine activation of single muscarinic K⁺ channels in isolated pacemaker cells of the mammalian heart. *Nature*. 1983; 303: 250-253
21. Trautwein W, Hescheler J: Regulation of cardiac L-type calcium current by phosphorylation and G proteins. *Annu Rev Physiol*. 1990; 52: 257-274
22. Schultz G, Rosenthal W, Hescheler J, Trautwein W: Role of G proteins in calcium channel modulation. *Annu Rev Physiol*. 1990; 52: 275-292
23. Pelzer D, Cavaliere A, McDonald TF, Trautwein W: Calcium channels in single heart cells. In: Piper HM, Isenberg G, editors. *Electrophysiology and contractile function*, vol 2. Boca Raton: CRC Press, 1989: 29-73
24. Bick RJ, Snuggs MB, Poindexter BJ, Buja LM, Van Winkle WB: Physical, contractile and calcium handling properties of neonatal cardiac myocytes cultured on different matrices. *Cell Adhes Commun* 1998; 6: 301-310
25. Merle PL, Feige JJ, Verdetti J: Basic fibroblast growth factor activates calcium channels in neonatal rat cardiomyocytes. *J Biol Chem* 1995; 270: 17361-67
26. Watt F: The extracellular matrix and cell shape. *Trends Biochem Sci* 1986; 11: 482-485
27. Boudreau NJ, Jones PL: Extracellular matrix and integrin signalling: the shape of things to come. *Biochem J* 1999; 339: 481-88
28. Mahfoudi A, Fauconnet S, Bride J, Beck L, Remy-Martin JP, Nicollier M, Adessi GL: Serum-free culture of stromal and functionally polarized epithelial cells of guinea-pig endometrium: a potential model for the study of epithelial-stromal paracrine interactions. *Biol Cell* 1992; 74: 255-65
29. Schwartz RE, Reyes M, Koodie L, Jiang Y, Blackstad M, Lund T, Lenvik T, Johnson S, Hu W-S, Verfaillie CM: Multipotent adult progenitor cells from bone marrow differentiate into functional hepatocyte-like cells. *J Clin Invest* 2002; 109: 1291-1302
30. Kleinman HK, Philp D, Hoffman MP: Role of the extracellular matrix in morphogenesis. *Curr Opin Biotechnol* 2003; 14: 526-532
31. Fassler R, Meyer M: Consequences of lack of beta 1 integrin gene expression in mice. *Genes Dev* 1995; 9: 1896-1908
32. Fassler R, Georges-Labouesse E, Hirsch E: Genetic analyses of integrin function in mice. *Curr Opin Cell Biol* 1996; 8: 641-646
33. Fassler R, Rowwedel J, Maltsev V, Bloch W, Lentini S, Kaomei G, Gullberg D, Hescheler J, Addicks K, Wobus AM: Differentiation and integrity of cardiac muscle cells are impaired in absence of integrin. *J Cell Sci* 1996; 222: 111-116
34. Guan K, Czyz J, Frst DO, Wobus AM: Expression and cellular distribution of v integrins in integrin-deficient embryonic stem cell-derived cardiac cells. *J Mol Cell Cardiol* 2001; 33: 521-532

